

přičemž  $f: \mathbb{R}^{n+1} \rightarrow \mathbb{R}^n$  je spojitá funkce splňující Lipschitzovu podmínku, funkce  $r: \mathbb{R}^{n+1} \rightarrow \mathbb{R}^n$  je spojitá a  $|r(t, y)| \leq \varepsilon$ . Odhadněte  $|x(t) - y(t)|$ .

3. Buď  $\omega(t, x)$  spojitá pro  $t \in (t_0, T)$ ,  $x \in \mathbb{R}$  a neklesající v  $x$ . Nechť počáteční problém  $y' = \omega(t, y)$ ,  $y(t_0) = y_0$  má jediné úplné řešení  $y$ . Ukažte, že pro každou spojitou funkci  $x$  splňující nerovnost

$$x(t) \leq y_0 + \int_{t_0}^t \omega(s, x(s)) ds$$

platí  $x(t) \leq y(t)$ .

4. Dokažte, že úplné řešení každého z následujících počátečních problémů existuje pro všechna  $x \geq x_0$

$$a) \quad y' = \frac{x+y}{1+y^2}, \quad y(x_0) = y_0,$$

$$b) \quad y' = x^3 - y^3, \quad y(x_0) = y_0,$$

$$c) \quad y' = xy + e^{-y}, \quad y(x_0) = y_0.$$

5. Nechť  $y' = f(x, y)$  je skalární diferenciální rovnice taková, že funkce  $f$  a  $\partial f / \partial y$  jsou spojitě v  $\mathbb{R}^2$  a že zde platí

$$\left| \frac{\partial f}{\partial y}(x, y) \right| \leq k(x),$$

kde  $k$  je spojitá funkce v  $\mathbb{R}$ . Dokažte, že úplné řešení počátečního problému  $y' = f(x, y)$ ,  $y(x_0) = y_0$  je definováno pro všechna  $x \geq x_0$ .

6. Buď  $f(t, x)$  spojitá  $n$ -vektorová funkce taková, že v oblasti  $|y|_e > b$  platí

$$y \cdot f(x, y) \leq k(x) |y|_e^2,$$

kde  $|\cdot|_e$  značí Euklidovu normu,  $\cdot$  značí skalární součin a  $k$  funkci spojitou na  $\mathbb{R}$ . Dokažte, že úplné řešení rovnice  $y' = f(x, y)$  s libovolnou počáteční podmínkou  $y(x_0) = y_0$  existuje pro všechna  $x \geq x_0$ .

#### Doporučená literatura

LAKSHMIKANTHAM V. - LEELA S. [1].

## VI. AUTONOMNÍ SYSTÉMY

### 1. Geometrická interpretace

Vektorová diferenciální rovnice

$$(1.1) \quad \frac{dx}{dt} = f(x),$$

kde vektorová funkce  $f$  je definovaná na nějaké oblasti  $\Omega$  v prostoru  $\mathbb{R}^n$ , se nazývá *autonomní systém*. Často bývá  $\Omega = \mathbb{R}^n$ . V této kapitole budeme předpokládat, že  $f$  je spojitá  $n$ -vektorová funkce a že počáteční problém (1.1),  $x(t_0) = x_0$  je jednoznačný pro libovolné  $[t_0, x_0] \in \mathbb{R} \times \Omega$ . Řešení budeme důsledně rozumět úplné řešení. Oblast  $\Omega$  se nazývá *fázový prostor*, proměnná  $t$  se nazývá *čas*.

Řešení  $x = \varphi(t)$  rovnice (1.1) můžeme interpretovat buďto jako graf funkce  $x = \varphi(t)$  v prostoru  $\mathbb{R} \times \Omega$  nebo jako křivku v prostoru  $\Omega$  danou parametricky rovnicí  $x = \varphi(t)$ . Ve druhém případě se taková křivka nazývá *trajektorie* systému (1.1). Je to kolmý průmět grafu funkce  $x = \varphi(t)$  z  $\mathbb{R} \times \Omega$  do  $\Omega$ .

**1.1 Věta.** Buď  $x = \varphi(t)$  řešení rovnice (1.1) splňující počáteční podmínku  $\varphi(t_0) = x_0$ . Pak pro každé  $c \in \mathbb{R}$  je též  $x = \psi(t) := \varphi(t+c)$  řešením (1.1) a splňuje podmínku  $\psi(t_0 - c) = x_0$ . Je-li  $\varphi(t)$  definované na intervalu  $(t_1, t_2)$ , je  $\psi(t)$  definované na intervalu  $(t_1 - c, t_2 - c)$ .

*Důkaz.* Platí  $\psi'(t) = \varphi'(t+c) = f[\varphi(t+c)] = f[\psi(t)]$  pro každé  $t \in (t_1 - c, t_2 - c)$ , takže  $\psi$  je řešením rovnice (1.1) a  $\psi(t_0 - c) = \varphi(t_0) = x_0$ .  $\square$

*Poznámka.* Bez újmy na obecnosti můžeme tedy každou trajektorii rovnice (1.1) určit počáteční podmínkou v čase  $t_0 = 0$ .

**1.2 Příklad.** 1. Autonomní systém

$$x_1' = x_2,$$

$$x_2' = -x_1$$

má fundamentální matici

$$\begin{bmatrix} \sin t & \cos t \\ \cos t & -\sin t \end{bmatrix}$$

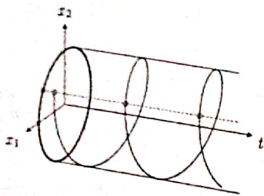
Vektorová funkce o složkách  $x_1 = \sin t$ ,  $x_2 = \cos t$  je tedy jedním z řešení daného systému pro  $t \in (-\infty, \infty)$ . Vektorová funkce o složkách  $x_1 = \sin(t+c)$ ,  $x_2 = \cos(t+c)$  je rovněž řešením pro  $t \in (-\infty, \infty)$ . Trajektorii každého z těchto dvou

řešení je kružnice  $x_1^2 + x_2^2 = 1$  v rovině  $x_1, x_2$ , takže obě trajektorie splývají. Poněvadž všechna řešení daného systému jsou tvaru

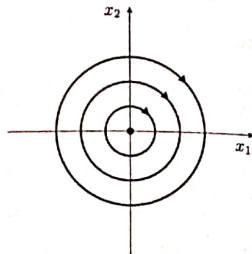
$$(x_1, x_2) = (C_1 \sin t + C_2 \cos t, C_1 \cos t - C_2 \sin t),$$

$$x_1^2 + x_2^2 = (C_1 \sin t + C_2 \cos t)^2 + (C_1 \cos t - C_2 \sin t)^2 = C_1^2 + C_2^2,$$

jsou všechny trajektorie daného systému kružnice se středem v počátku o poloměru  $\sqrt{C_1^2 + C_2^2}$  s výjimkou případu  $C_1 = C_2 = 0$ , kdy trajektorii je jediný bod (počátek fázového prostoru). Situace je znázorněna na obrázcích 6.1 a 6.2. Šipky na trajektorii vyznačují směr toku času.



Obr. 6.1



Obr. 6.2

2. Uvažujme nyní autonomní systém

$$x_1' = 1,$$

$$x_2' = 0.$$

Integrací jednotlivých rovnic tohoto systému dostáváme obecné řešení  $x_1 = C_1 + t$ ,  $x_2 = C_2$ . Trajektorie jsou tedy přímky rovnoběžné s osou  $x_1$ .

**1.3 Věta.** Buďte  $\varphi, \psi$  řešení rovnice (1.1). Pak jejich trajektorie buďto splývají, nebo nemají ani jeden bod společný.

*Důkaz.* Nechť např.  $\varphi(t_1) = \psi(t_2)$ . Označme  $x(t) := \varphi(t + c)$ , kde  $c = t_1 - t_2$ . Podle předcházející věty je  $x$  řešením (1.1) a  $x(t_2) = \varphi(t_2 + t_1 - t_2) = \varphi(t_1) = \psi(t_2)$ . Vzhledem k předpokladu jednoznačnosti řešení počátečního problému platí  $x(t) \equiv \psi(t)$ . Trajektorie řešení  $x$  a  $\psi$  tedy splývají. Poněvadž řešení  $\varphi$  a  $x$  mají tutéž trajektorii, trajektorie řešení  $\varphi$  a  $\psi$  splývají. □

**1.4 Definice.** Bod  $x_0$  se nazývá *singulární bod* (*kritický bod*, *stacionární bod*, *rovnovážný bod*, *degenerovaná trajektorie*) rovnice (1.1), jestliže  $f(x_0) = 0$ . Trajektorie rovnice (1.1) se nazývá *cyklus*, jestliže je uzavřenou křivkou.

Bod  $x_0$  je zřejmé singulárním bodem právě tehdy, když (1.1) má konstantní řešení  $x(t) \equiv x_0, t \in (-\infty, \infty)$ . V příkladu 1.2 se kromě trajektorii typu singulárního bodu a cyklu vyskytly také trajektorie, které lze charakterizovat tak, že samy sebe nikde neprotínají. Následující věta ukazuje, že kromě těchto tří základních typů trajektorií se u autonomních systémů další typy trajektorií nemohou vyskytnout.

**1.5 Věta.** Autonomní systém (1.1) může mít trajektorie trojího typu:

1. Singulární body. Odpovídají konstantním řešením.
2. Uzavřené trajektorie (cykly). Odpovídají nekonzantním periodickým řešením.
3. Trajektorie, které samy sebe neprotínají.

*Důkaz.* Buď  $\varphi$  řešení rovnice (1.1) definované na  $I = (a, b)$ . Předpokládejme, že trajektorie řešení  $\varphi$  není typu 3. Pak existují  $t_1, t_2 \in I, t_1 < t_2$  tak, že  $\varphi(t_1) = \varphi(t_2)$ . Ukážeme nejprve, že v tomto případě řešení  $\varphi$  existuje pro všechna  $t \in I$ . Označíme-li  $\psi(t) := \varphi(t + t_2 - t_1)$ , je  $\psi$  řešením rovnice (1.1) definované na intervalu  $(a - t_2 + t_1, b - t_2 + t_1)$ . Protože  $\psi(t_1) = \varphi(t_2) = \varphi(t_1)$ , obě řešení musí splývat, takže  $\psi(t) \equiv \varphi(t)$ . Řešení  $\varphi, \psi$  musí mít stejný definiční obor (poněvadž jsou úpiná), a to je možné jen tak, že  $a = -\infty, b = \infty$ . Platí tedy  $I = \mathbb{R}$ .

Číslo  $T = t_2 - t_1$  je periodou řešení  $\varphi$ . Také každé číslo  $kT$  je periodou pro  $k \in \mathbb{N}$ . Množina  $P$  všech period funkce  $\varphi$  má tyto vlastnosti:

$$T \in P \Rightarrow -T \in P,$$

$$T_1, T_2 \in P \Rightarrow T_1 + T_2 \in P,$$

$$P \text{ je uzavřená.}$$

Vskutku, je-li  $\tau_k \rightarrow \tau, \tau_k \in P$ , pak  $\tau \in P$ , neboť ze vztahu  $\varphi(\tau_k + t) = \varphi(t)$  a ze spojitosti  $\varphi$  plyne  $\varphi(\tau + t) = \varphi(t)$ . Je tedy  $P$  uzavřená a mohou nastat dva případy:

1.  $P$  obsahuje nejmenší kladné číslo.
2.  $P$  obsahuje libovolně malá kladná čísla.

V prvním případě označme tuto nejmenší kladnou periodu  $\tau$ . Ukážeme, že

$$P \cap (0, \infty) = \{k\tau : k \in \mathbb{N}\}.$$

Vskutku, buď  $\omega \in P \cap (0, \infty)$ . Pak existuje  $k \in \mathbb{N} \cup \{0\}$  tak, že  $k\tau \leq \omega < (k+1)\tau$ . Ale  $\omega - k\tau$  je periodou a  $0 \leq \omega - k\tau < \tau$ . Poněvadž  $\tau$  je nejmenší kladná perioda, je  $\omega - k\tau = 0$ , to jest  $\omega = k\tau$  a  $P \cap (0, \infty) \subseteq \{k\tau : k \in \mathbb{N}\}$ . Opačná inkluze je zřejmá.

V druhém případě existuje posloupnost  $(\tau_k)$  taková, že  $\tau_k \in P, \tau_1 > \tau_2 > \dots > \tau_k > \dots, \lim \tau_k = 0$ . Ukážeme, že libovolně kladné číslo  $\tau$  je prvkem  $P$ . Vskutku, ke každému  $\tau_k$  existuje  $j_k \in \mathbb{N} \cup \{0\}$  tak, že  $j_k \tau_k \leq \tau < (j_k + 1)\tau_k$ , tedy  $|\tau - j_k \tau_k| < \tau_k$ . Ale  $j_k \tau_k \in P, \lim j_k \tau_k = \tau$ , tedy  $\tau \in P$ .

V prvním případě je trajektorie odpovídající řešení  $\varphi$  cyklem, přičemž řešení  $\varphi$  je periodické s nejmenší periodou  $\tau$ . Druhý případ může nastat, jen když se jedná o degenerovanou trajektorii. □

## 2. Typy singulárních bodů v rovině

Buď dán autonomní systém dvou rovnic ve vektorovém tvaru

$$x' = f(x)$$

(2.1)

a předpokládejme existenci a jednoznačnost řešení každého počátečního problému. Singulární bod  $x_0$  rovnice (2.1) se nazývá:

*střed*, když existuje ryzí okolí  $U$  bodu  $x_0$  takové, že každým bodem  $a \in U$  prochází jediná trajektorie, která je uzavřená a obsahuje ve svém vnitřku bod  $x_0$ ;

*ohnisko*, když existuje ryzí okolí  $U$  bodu  $x_0$  takové, že bod  $x(t)$  trajektorie  $x$  vycházející z libovolného bodu  $a \in U$  má tu vlastnost, že konverguje pro  $t \rightarrow \infty$  nebo  $t \rightarrow -\infty$  k  $x_0$ , a to tak, že velikost orientovaného úhlu vektoru  $\overrightarrow{x_0 x(t)}$  od nějakého pevného vektoru  $\overrightarrow{x_0 \bar{x}_1}$  má nevlastní limitu;

*uzel*, když existuje ryzí okolí  $U$  bodu  $x_0$  takové, že pro bod  $x(t)$  trajektorie  $x$  vycházející z libovolného bodu  $a \in U$  platí

$$\lim_{t \rightarrow \infty} x(t) = x_0 \quad \text{nebo} \quad \lim_{t \rightarrow -\infty} x(t) = x_0,$$

přičemž velikost orientovaného úhlu vektoru  $\overrightarrow{x_0 x(t)}$  od nějakého pevného vektoru  $\overrightarrow{x_0 \bar{x}_1}$  má konečnou limitu;

*sedlo*, když existuje jen konečný počet trajektorií  $x = x(t)$  takových, že

$$\lim_{t \rightarrow \infty} x(t) = x_0 \quad \text{nebo} \quad \lim_{t \rightarrow -\infty} x(t) = x_0.$$

*Poznámka.* Je-li  $x_0 \neq 0$  singulární bod rovnice (2.1), lze posunutím  $y = x - x_0$  transformovat (2.1) na rovnici  $y' = f(y + x_0)$ , která má singulární bod v počátku fázového prostoru  $\mathbb{R}^2$ . Touto transformací se nemění typ singulárního bodu.

Provedeme nyní klasifikaci singulárních bodů a popíšeme průběh trajektorií lineárních autonomních systémů ve fázovém prostoru  $\mathbb{R}^2$ .

## 3. Lineární autonomní systémy v rovině

Buď dán autonomní systém

(3.1)

$$x' = Ax,$$

kde

$$A = \begin{bmatrix} a_{11} & a_{12} \\ a_{21} & a_{22} \end{bmatrix}, \quad a_{ij} \in \mathbb{R}, \quad x = \begin{bmatrix} x_1 \\ x_2 \end{bmatrix}.$$

Je-li  $x$  řešením rovnice (3.1), je též  $\tau x$ ,  $\tau \in \mathbb{R}$ , řešením této rovnice. Trajektorie odpovídající takovým řešením jsou tedy stejnohlé se středem stejnohlélosti v počátku. Počátek je jediným singulárním bodem rovnice (3.1) právě tehdy, když  $\det A \neq 0$ , tj. právě tehdy, když 0 není kořenem charakteristické rovnice matice  $A$

(3.2)

$$\lambda^2 - (a_{11} + a_{22})\lambda + a_{11}a_{22} - a_{12}a_{21} = 0.$$

Jestliže  $\det A = 0$ , pak existuje singulární bod  $v \neq 0$  rovnice (3.1). Rovnice (3.1) má v tomto případě nekonečně mnoho singulárních bodů. Je-li navíc  $A \neq O$ , jsou singulárními právě všechny body přímky  $x = \tau v$ ,  $\tau \in \mathbb{R}$ . Je-li  $A = O$ , je každý bod fázového prostoru  $\mathbb{R}^2$  singulární.

Z algebry je známo, že existuje vhodná reálná lineární transformace  $x = Pu$  převádějící rovnici (3.1) na tvar

$$(3.3) \quad u' = Bu, \quad B = P^{-1}AP.$$

Podle povahy kořenů  $\mu, \nu$  charakteristické rovnice matice  $A$  může být  $B$  tvaru

$$\begin{bmatrix} \mu & 0 \\ 0 & \nu \end{bmatrix}, \quad \begin{bmatrix} \mu & 0 \\ 0 & \mu \end{bmatrix}, \quad \begin{bmatrix} \mu & 1 \\ 0 & \mu \end{bmatrix}, \quad \begin{bmatrix} \Re(\mu) & \Im(\mu) \\ -\Im(\mu) & \Re(\mu) \end{bmatrix}.$$

První tvar odpovídá dvěma reálným různým kořenům  $\mu, \nu$ , druhý a třetí tvar dvojnásobnému kořenu  $\mu$ . Je-li  $|a_{12}| + |a_{21}| = 0$ , nastane případ druhý, je-li  $|a_{12}| + |a_{21}| \neq 0$ , nastane případ třetí. Poslední tvar odpovídá případu nereálných komplexně sdružených kořenů  $\mu, \nu$ .

Určíme-li trajektorie rovnice (3.3), jsou trajektorie rovnice (3.1) dány rovnicí  $x = Pu$ , to jest, obdržíme je z nich lineární transformací, která geometricky představuje otočení, symetrii vzhledem k přímce a dilataci, a tudíž nemění typ singulárního bodu. Můžeme tedy vyšetřování průběhu trajektorií rovnice (3.1) nahradit vyšetřováním průběhu trajektorií rovnice (3.3) v okolí počátku. Označme za tím účelem  $u$  a  $v$  složky vektoru  $w$ .

Předpokládejme nejprve, že  $\det A = 0, A \neq O$ .

1. Má-li charakteristická rovnice (3.2) kořeny  $\mu = 0, \nu \neq 0$ , pak

$$B = \begin{bmatrix} 0 & 0 \\ 0 & \nu \end{bmatrix},$$

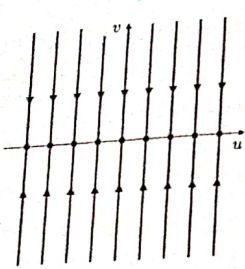
kde  $\nu \neq 0$ . Řešením autonomní rovnice (3.3) je vektorová funkce o složkách

$$u = u_0, \quad v = v_0 \exp(\nu t),$$

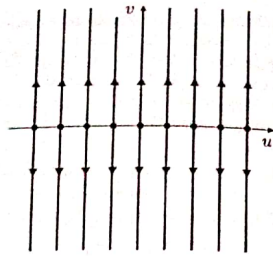
kde  $u_0, v_0 \in \mathbb{R}$  jsou libovolné konstanty. Singulárními body jsou zřejmě všechny body ležící v přímce  $v = 0$ . Odpovídají volbě  $v_0 = 0$ . Je-li  $v_0 \neq 0$ , jsou trajektorie otevřené polopřímky vycházející z bodu  $\{u_0, 0\}$  a ležící v přímce  $u = u_0$  (viz obr. 6.3 pro případ  $\nu < 0$ , a obr. 6.4 pro případ  $\nu > 0$ ). Je-li  $\mu \neq 0$  a  $\nu = 0$ , je

$$B = \begin{bmatrix} \mu & 0 \\ 0 & 0 \end{bmatrix}.$$

Situace je stejná až na otočení o úhel  $\pi/2$ . Singulárními body jsou všechny body přímky  $u = 0$  a ostatní trajektorie rovnice (3.3) jsou otevřené polopřímky rovnoběžné s přímkou  $v = 0$ .



Obr. 6.3



Obr. 6.4

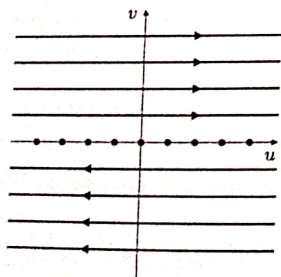
2. Má-li charakteristická rovnice (3.2) dvojnásobný kořen 0, je

$$B = \begin{bmatrix} 0 & 1 \\ 0 & 0 \end{bmatrix}.$$

Trajektorie rovnice (3.3) jsou určeny rovnicemi

$$u = u_0 + v_0 t, \quad v = v_0.$$

Singulárními body jsou opět body přímky  $v = 0$ . Odpovídají volbě  $v_0 = 0$ . Je-li  $v_0 \neq 0$ , jsou trajektorie přímky procházející bodem  $[u_0, v_0]$  rovnoběžné s přímkou  $v = 0$  (viz obr. 6.5).



Obr. 6.5

Ve zbyvajících částech tohoto odstavce budeme předpokládat  $\det A \neq 0$ , takže rovnice (3.1) má jediný singulární bod v počátku fázového prostoru  $\mathbb{R}^2$  a jsou-li  $\mu$  a  $\nu$  kořeny rovnice (3.2), pak je  $\mu\nu \neq 0$ .

1. Má-li charakteristická rovnice (3.2) reálné kořeny  $\mu \neq \nu$ , je

$$B = \begin{bmatrix} \mu & 0 \\ 0 & \nu \end{bmatrix}.$$

řešením autonomní rovnice (3.3) je vektorová funkce o složkách

$$u = u_0 \exp(\mu t), \quad v = v_0 \exp(\nu t),$$

kde  $u_0, v_0 \in \mathbb{R}$  jsou libovolné konstanty. Je-li  $u_0 = 0$  nebo  $v_0 = 0$ , jsou nede-generované trajektorie otevřené polopřímky vycházející z počátku a ležící v přímce  $u = 0$  nebo  $v = 0$ . Je-li  $u_0 \neq 0 \neq v_0$ , platí

$$\begin{pmatrix} u \\ v \end{pmatrix} = e^{Bt} \begin{pmatrix} u_0 \\ v_0 \end{pmatrix},$$

takže každou trajektorii rovnice (3.3) můžeme psát ve tvaru

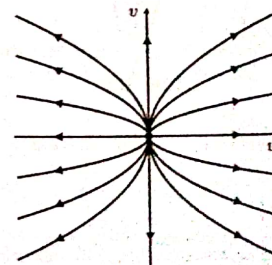
$$(3.4) \quad v = v_0 |u_0|^{-\nu/\mu} |u|^{\nu/\mu}.$$

1.1. Buď  $0 < \nu < \mu$ , takže  $0 < \nu/\mu < 1$ . Pro  $t \rightarrow -\infty$  konverguje bod  $w(t) = [u(t), v(t)]$  k počátku a platí

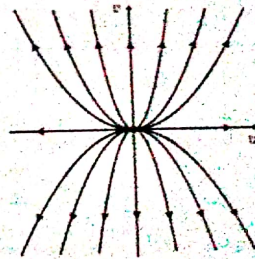
$$\lim_{t \rightarrow -\infty} \frac{v(t)}{u(t)} = \lim_{t \rightarrow -\infty} \frac{v_0 \nu e^{\nu t}}{u_0 \mu e^{\mu t}} = \begin{cases} \infty, & \text{leží-li } [u_0, v_0] \text{ v 1. nebo 3. kvadrantu,} \\ -\infty, & \text{leží-li } [u_0, v_0] \text{ v 2. nebo 4. kvadrantu.} \end{cases}$$

Počátek je tedy uzlem (obr. 6.6).

1.2. Je-li  $0 < \mu < \nu$ , řešení jsou opět tvaru (3.4), je ovšem  $\nu/\mu > 1$ . Počátek je opět uzlem (obr. 6.7).

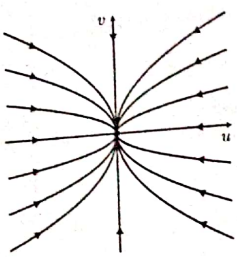


Obr. 6.6

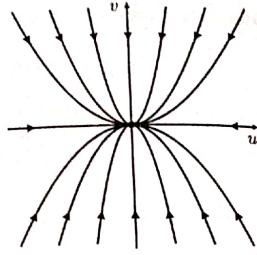


Obr. 6.7

1.3. Necht  $\mu < 0, \nu < 0, \mu \neq \nu$ . Transformace  $t \rightarrow -t$  převádí tento případ jeden z předcházejících. Průběh trajektorií je stejný, pohyb bodu  $w(t)$  po trajekt. je však opačný. Jedná se opět o uzly (obr. 6.8 a 6.9).

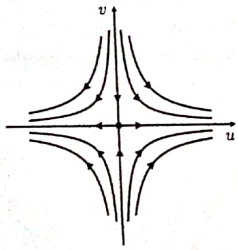


Obr. 6.8

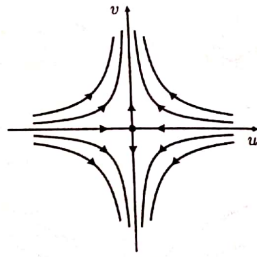


Obr. 6.9

1.4. Jsou-li  $\mu$  a  $\nu$  opačných znamének, je exponent  $\nu/\mu$  v (3.4) záporný. V počátku je sedlo. Průběh trajektorií je znázorněn na obr. 6.10 (případ  $\mu > 0 > \nu$ ) a obr. 6.11 (případ  $\nu > 0 > \mu$ ).



Obr. 6.10



Obr. 6.11

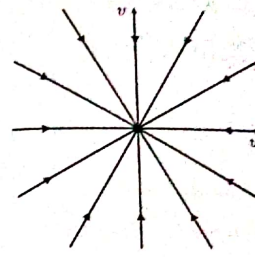
2. Má-li charakteristická rovnice (3.2) dvojnásobný kořen  $\mu \neq 0$  a  $|a_{12}| + |a_{21}| = 0$ , je

$$B = \begin{bmatrix} \mu & 0 \\ 0 & \mu \end{bmatrix}$$

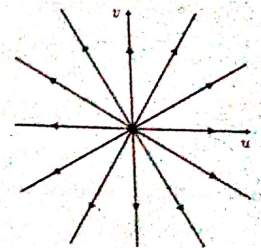
V tomto případě jsou nedegenerovanými trajektoriemi rovnice (3.3) polopřímky vycházející z počátku

$$u = u_0 e^{\mu t}, \quad v = v_0 e^{\mu t}, \quad u_0, v_0 \in \mathbb{R}$$

V počátku je uzel, situace je znázorněna na obr. 6.12 (případ  $\mu < 0$ ) a na obr. 6.13 (případ  $\mu > 0$ ).



Obr. 6.12



Obr. 6.13

3. Má-li charakteristická rovnice (3.2) dvojnásobný kořen  $\mu \neq 0$  a  $|a_{12}| + |a_{21}| \neq 0$ , je

$$B = \begin{bmatrix} \mu & 1 \\ 0 & \mu \end{bmatrix}$$

Trajektorie rovnice (3.1) jsou určeny rovnicemi

$$u = e^{\mu t}(u_0 + v_0 t), \quad v = v_0 e^{\mu t}$$

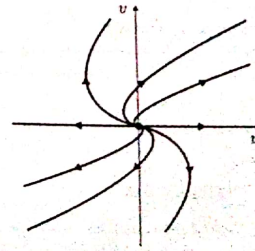
Je-li  $v_0 = 0$ , leží trajektorie v ose  $u$ . Je-li  $v_0 \neq 0$ , je

$$t = \frac{1}{\mu} \ln \frac{v}{v_0}$$

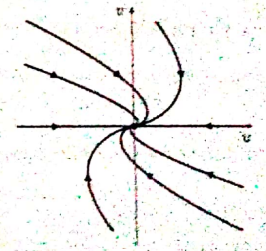
a rovnici trajektorií lze psát ve tvaru

$$u = \frac{v}{v_0} \left( u_0 + \frac{v_0}{\mu} \ln \frac{v}{v_0} \right)$$

Průběh trajektorií v okolí počátku, což je opět uzel, je znázorněn na obr. 6.14 ( $\mu > 0$ ) a na obr. 6.15 ( $\mu < 0$ ).



Obr. 6.14



Obr. 6.15

4. Má-li charakteristická rovnice (3.2) nereálné kořeny  $\mu, \nu$ , je

$$B = \begin{bmatrix} \Re(\mu) & \Im(\mu) \\ -\Im(\mu) & \Re(\mu) \end{bmatrix}.$$

Označme  $\alpha = \Re(\mu)$ ,  $\beta = \Im(\mu)$ .

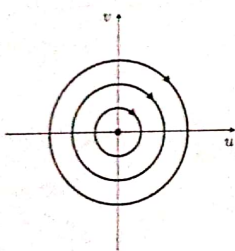
4.1. Nechť je  $\alpha = 0$ . Jedná se tedy o systém

$$u' = \beta v, \quad v' = -\beta u,$$

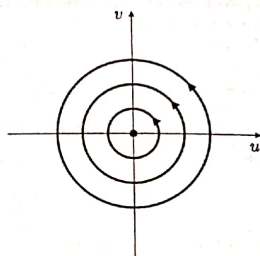
takže  $u'' = -\beta^2 u$  a parametrické rovnice trajektorií jsou

$$u = c_1 \cos(\beta t + c_2), \quad v = -c_1 \sin(\beta t + c_2), \quad c_1, c_2 \in \mathbb{R}.$$

Nedegenerovanými trajektoriemi jsou tedy kružnice  $u^2 + v^2 = c_1^2$  a počátek je střed - obr. 6.16 ( $\beta > 0$ ) a obr. 6.17 ( $\beta < 0$ ).



Obr. 6.16



Obr. 6.17

4.2. Je-li  $\alpha \neq 0$ , jedná se o systém

$$u' = \alpha u + \beta v, \quad v' = -\beta u + \alpha v.$$

Zavedením polárních souřadnic  $u = r \cos \varphi$ ,  $v = r \sin \varphi$ , obdržíme

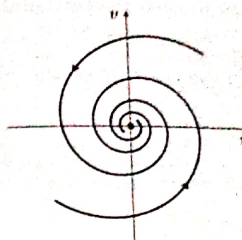
$$rr' = uu' + vv' = \alpha r^2,$$

$$\varphi' = \frac{v'u - uv'}{u^2 + v^2} = -\beta.$$

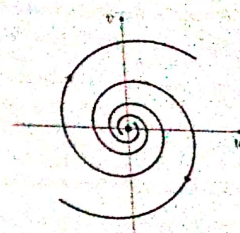
Řešením tohoto systému jsou funkce

$$r = r_0 e^{\alpha t}, \quad \varphi = \varphi_0 - \beta t, \quad \text{kde } r_0, \varphi_0 \in \mathbb{R}.$$

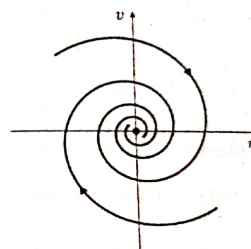
Pro  $r_0 > 0$  to jsou parametrické rovnice logaritmických spirál, takže počátek je ohnisko. Situace je znázorněna na obr. 6.18 ( $\alpha < 0, \beta < 0$ ), obr. 6.19 ( $\alpha > 0, \beta > 0$ ), obr. 6.20 ( $\alpha < 0, \beta > 0$ ) a na obr. 6.21 ( $\alpha > 0, \beta < 0$ ).



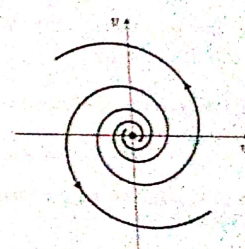
Obr. 6.18



Obr. 6.19



Obr. 6.20



Obr. 6.21

Poznámka. Výsledky tohoto odstavce lze shrnout takto. Označme

$$\Delta := \det A = a_{11}a_{22} - a_{12}a_{21},$$

$$D := (a_{11} + a_{22})^2 - 4(a_{11}a_{22} - a_{12}a_{21}) = (a_{11} - a_{22})^2 + 4a_{12}a_{21},$$

takže  $D$  je diskriminant charakteristické rovnice matice  $A$ .

Jednotlivé typy singulárního bodu  $\{0, 0\}$  rovnice (3.1) jsou charakterisovány takto<sup>1</sup>:

Ohnisko:  $\Delta > 0, D < 0, a_{11} + a_{22} \neq 0$ .

Střed:  $\Delta > 0, D < 0, a_{11} + a_{22} = 0$ .

Uzel:  $\Delta > 0, D \geq 0$ .

Sedlo:  $\Delta < 0$ .

<sup>1</sup>V případě  $\Delta = 0, A \neq O$  vyplývají singulární body rovnice (3.1) přímku procházející počátkem. Je-li navíc  $a_{11} + a_{22} \neq 0$ , jsou ostatní trajektorie rovnice (3.1) otevřené, vzájemně rovnoběžné polopřímky vycházející z bodů této přímky a svírající s ní stejný nenulový úhel. Je-li  $a_{11} + a_{22} = 0$ , jsou ostatní trajektorie rovnice (3.1) přímky rovnoběžné s přímkou tvořenou singulárními body.